

# HETEROGENEOUS INTER-SIMULATOR COOPERATIVE DISTRIBUTED COMPUTING METHOD AND SYSTEM THEREFOR

Publication number: JP9311852

Publication date: 1997-12-02

Inventor: KA KIRIN; IHARA SHIGEO

Applicant: HITACHI LTD

Classification:

- international: G06F17/11; G06F17/50; G06F19/00; G06F17/11;  
G06F17/50; G06F19/00; (IPC1-7): G06F17/00;  
G06F17/11; G06F17/50

- European: G06F17/50C2

Application number: JP19960128111 19960523

Priority number(s): JP19960128111 19960523

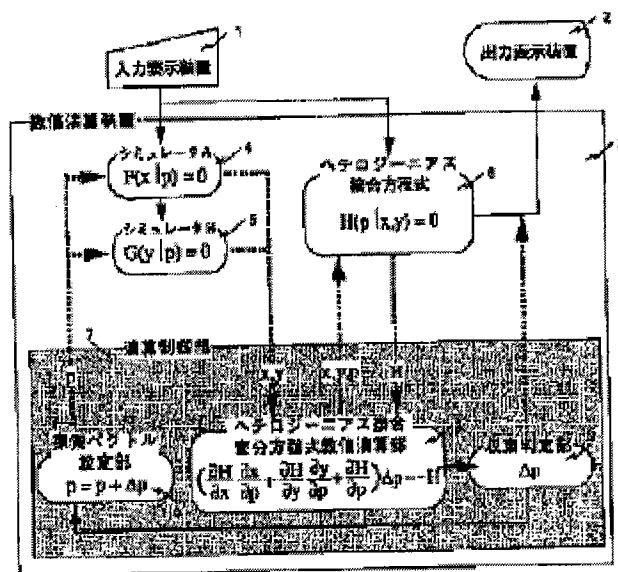
Also published as:

EP0809200 (A2)  
US5926403 (A1)  
EP0809200 (A3)

Report a data error here

## Abstract of JP9311852

**PROBLEM TO BE SOLVED:** To unite heterogeneous simulators with a high efficiency in regard to high speedness safety and scalability by setting a simulator consisting of a parameter and a variable and parameter value to a numerical arithmetic unit. **SOLUTION:** A numerical arithmetic unit 3 includes an arithmetic control part 7 which consists of a heterogeneous junction variational equation numerical arithmetic part 8, a convergence decision part 9 for parameter  $p$  and a retrieval vector setting part 10 for parameter  $p$  and has an agent function. The part 8 substitutes the parameter value  $p$  and the variable value  $(x)$  and  $(y)$  for a heterogeneous junction equation 6 and extracts the substitution value  $H$ . Then a heterogeneous junction variational equation composed by the extracted value  $H$  is solved so as to calculate an increment  $\Delta p$  of parameter  $p$ . The part 9 decides the convergence of the increment  $\Delta p$ . If the increment  $\Delta p$  is converged, the value of global consistent solutions  $p$ ,  $(x)$  and  $(y)$  are shown on an output display device 2.



**Family list****4 family members for: JP9311852**

Derived from 3 applications

[Back to JP931](#)**1 Method and system for concurrent computing between heterogeneous simulators****Inventor:** HO SHIRUN (JP); IHARA SIGEO (JP)**Applicant:** HITACHI LTD (JP)**EC:** G06F17/50C2**IPC:** G06F17/11; G06F17/50; G06F19/00 (+4)**Publication info:** EP0809200 A2 - 1997-11-26**EP0809200 A3** - 2000-02-09**2 HETEROGENEOUS INTER-SIMULATOR COOPERATIVE DISTRIBUTED COMPUTING METHOD AND SYSTEM THEREFOR****Inventor:** KA KIRIN; IHARA SHIGEO**Applicant:** HITACHI LTD**EC:** G06F17/50C2**IPC:** G06F17/11; G06F17/50; G06F19/00 (+6)**Publication info:** JP9311852 A - 1997-12-02**3 Method and system for concurrent computing between heterogeneous simulators****Inventor:** HO SHIRUN (JP); IHARA SIGEO (JP)**Applicant:** HITACHI LTD (JP)**EC:** G06F17/50C2**IPC:** G06F17/11; G06F17/50; G06F19/00 (+4)**Publication info:** US5926403 A - 1999-07-20

---

Data supplied from the **esp@cenet** database - Worldwide

(19) 日本国特許庁 (J P)

(12) 公開特許公報 (A)

(11) 特許出願公開番号

特開平9-311852

(43) 公開日 平成9年(1997)12月2日

(51) Int.Cl. <sup>6</sup>	識別記号	庁内整理番号	F I	技術表示箇所
G 0 6 F 17/00			G 0 6 F 15/20	D
17/11			15/32	
17/50			15/60	6 1 2 G

審査請求 未請求 請求項の数10 O L (全 18 頁)

(21) 出願番号 特願平8-128111

(22) 出願日 平成8年(1996)5月23日

(71) 出願人 000005108

株式会社日立製作所

東京都千代田区神田駿河台四丁目6番地

(72) 発明者 何 希倫

東京都国分寺市東恋ヶ窪1丁目280番地

株式会社日立製作所中央研究所内

(72) 発明者 井原 茂男

東京都国分寺市東恋ヶ窪1丁目280番地

株式会社日立製作所中央研究所内

(74) 代理人 弁理士 小川 勝男

(54) 【発明の名称】 ヘテロジーニアスなシミュレータ間の協調分散コンピューティング方法及びシステム

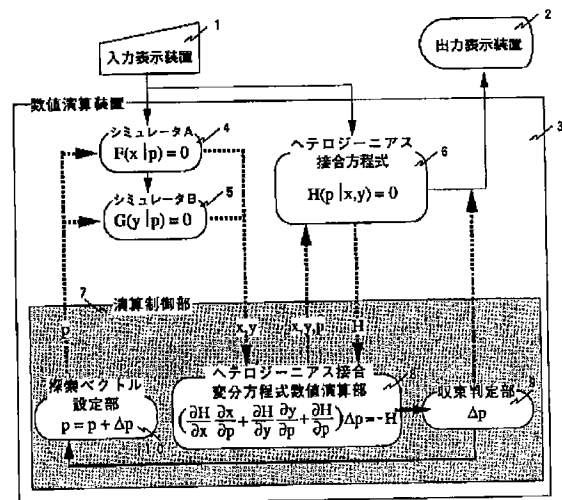
(57) 【要約】

【課題】 物理現象が複雑化し異種シミュレータ間を接合方程式に基づいて連結するために、従来技術の非結合方程式又は結合法のデメリットを解決し高速且つ安定なシステムを提供する。

【解決手段】 数値演算装置3にヘテロジーニアス接合変分方程式数値演算部8と収束判定部9と探索ベクトル設定部10とからなる演算制御部3を設ける。ヘテロジーニアス接合変分方程式数値演算部8からシミュレータAとシミュレータB及びヘテロジーニアス接合方程式6にパラメータ値と変数値を入出力することで、数1のヘテロジーニアス接合変分方程式を形成しグローバルコンシスタントな解を求める。

【効果】 あらゆる先端科学技術分野において物理現象が複雑化した場合に、シミュレーションエンジニアは、ヘテロジーニアスな接合方程式を設定するのみで自動的にグローバルコンシスタントな解が得られることから、オペレータの解析と設計を極めて効果的に支援できる。

図1



## 【特許請求の範囲】

【請求項 1】 入力表示装置と数値演算装置及び出力表示装置を備えたコンピュータを用いて、パラメータと変数で規定されるすくなくとも 2 種類のシミュレータ及び該パラメータと変数とを関係づけるヘテロジーニース接合方程式に関する情報を上記入力表示装置から上記数値演算装置に入力設定し、入力設定した情報から上記数値演算装置でグローバルコンシスタントな解を求め、求めた解を上記出力表示装置に表示するヘテロジーニースなシミュレータ間の協調分散コンピューティング方法であつて、上記数値演算装置内にエージェント機能を有する演算制御部を設け、該エージェント機能は以下の処理からなることを特徴とするヘテロジーニースなシミュレータ間の協調分散コンピューティング方法。

(1. 1) 上記パラメータに対して各シミュレータより得られたローカルコンシスタントな解を取り出す処理、

(1. 2) 上記パラメータと変数とをすくなくとも 1 個のヘテロジーニース接合方程式に代入して代入値を取り出す処理、

(1. 3) 取り出した代入値及び上記パラメータと変数に関するヘテロジーニース接合変分方程式を解くことでパラメータの変化分を求める処理、

(1. 4) 該変化分の収束性を判定する処理、

(1. 5) 収束していなければ、上記パラメータを所定量だけ変化させ上記 (1. 1) ～ (1. 4) を繰り返す処理、

(1. 6) 収束していれば、グローバルコンシスタントな解を上記出力表示装置に出力する処理。

【請求項 2】 入力表示装置と数値演算装置及び出力表示装置を備えたコンピュータを用いて、パラメータ  $p$  と変数  $x$  で規定される第 1 のシミュレータ、パラメータ  $p$  と変数  $y$  で規定される第 2 のシミュレータ及びパラメータ  $p$  と変数  $x$ 、 $y$  とを関係づけるヘテロジーニース接合方程式に関する情報を上記入力表示装置から上記数値演算装置に入力設定し、入力設定した情報からグローバルコンシスタントな解  $p$ 、 $x$ 、 $y$  を求め、求めた解を上記出力表示装置に表示するヘテロジーニースなシミュレータ間の協調分散コンピューティング方法であつて、上記数値演算装置内に設けた演算制御部により以下の処理をおこなうことを特徴とするヘテロジーニースなシミュレータ間の協調分散コンピューティング方法。

(1. 1) パラメータ値  $p$  に対して第 1 のシミュレータより得られたローカルコンシスタントな解  $x$  と第 2 のシミュレータより得られたローカルコンシスタントな解  $y$  を取り出す処理、

(1. 2) 上記パラメータ値  $p$  と変数値  $x$ 、 $y$  をヘテロジーニース接合方程式に代入して代入値  $H$  を取り出す処理、

(1. 3) 取り出した代入値  $H$  及び上記パラメータ  $p$  と変数  $x$ 、 $y$  に関するヘテロジーニース接合変分方程式を

解くことでパラメータ  $p$  の変化分  $\Delta p$  を求める処理、

(1. 4)  $\Delta p$  の収束性を判定する処理、

(1. 5) 収束していなければ、上記パラメータ  $p$  を所定量だけ変化させ上記 (1. 1) ～ (1. 4) を繰り返す処理、

(1. 6) 収束していれば、グローバルコンシスタントな解  $p$ 、 $x$ 、 $y$  の値を上記出力表示装置に出力する処理。

【請求項 3】 パラメータ  $p$  と変数  $x$  で規定される第 1 のシミュレータ、パラメータ  $p$  と変数  $y$  で規定される第 2 のシミュレータ及びパラメータ  $p$  と変数  $x$ 、 $y$  を関係づけるヘテロジーニース接合方程式に関する情報を入力表示する入力表示装置と、入力された情報からグローバルコンシスタントな解  $p$ 、 $x$ 、 $y$  を求める数値演算装置と、求めた解  $p$ 、 $x$ 、 $y$  の値を表示する出力表示装置とを備えたヘテロジーニースなシミュレータ間の協調分散コンピューティングシステムであつて、上記数値演算装置に以下の手段からなる演算制御部を設けたことを特徴とするヘテロジーニースなシミュレータ間の協調分散コンピューティングシステム。

(2. 1) パラメータ値  $p$  に対して第 1 のシミュレータより得られたローカルコンシスタントな解  $x$  と第 2 のシミュレータより得られたローカルコンシスタントな解  $y$  を取り出す手段、

(2. 2) 上記パラメータ値  $p$  と変数値  $x$ 、 $y$  をヘテロジーニース接合方程式に代入して代入値  $H$  を取り出す手段、

(2. 3) 取り出した代入値  $H$  及び上記パラメータ値  $p$  と変数値  $x$ 、 $y$  に関するヘテロジーニース接合変分方程式を解くことでパラメータ  $p$  の変化分  $\Delta p$  を求める手段、

(2. 4)  $\Delta p$  の収束性を判定する収束判定手段、

(2. 5) 収束していなければ、上記パラメータ  $p$  を所定量だけ変化させ上記 (2. 1) ～ (2. 4) を繰り返す探索ベクトル設定手段、

(2. 6) 収束していれば、グローバルコンシスタントな解  $p$ 、 $x$ 、 $y$  の値を上記出力表示装置に出力する手段。

【請求項 4】 請求項 2 項記載のヘテロジーニースなシミュレータ間の協調分散コンピューティング方法であつて、上記 (1. 1) の処理は以下の (3. 1) と (3. 2) の処理からなり、上記 (1. 2) の処理は以下の (3. 3) と (3. 4) の処理からなることを特徴とするヘテロジーニースなシミュレータ間の協調分散コンピューティング方法。

(3. 1) 上記数値演算装置に複数の第 1 のシミュレータと複数の第 2 のシミュレータを入力設定してパラメータ値  $p$  ( $p_1$ 、――、 $p_l$ ) に対して微小変化量  $\delta p_1$ 、――、 $\delta p_l$  だけ変調した  $p + \delta p_1$ 、――、 $p + \delta p_l$  及び  $p$  を複数の第 1 のシミュレータと複数の第

2のシミュレータに送り出す処理、

(3. 2) 複数の第1のシミュレータでの分散処理により得られたローカルコンシスタントな解  $x + \delta x_1$ 、 $\dots$ 、 $x + \delta x_m$ 、 $x$ と複数の第2のシミュレータでの分散処理により得られたローカルコンシスタントな解  $y + \delta y_1$ 、 $\dots$ 、 $y + \delta y_n$ 、 $y$ を取り出す処理、

(3. 3) 上記数値演算装置に複数のヘテロジニアス接合方程式を入力設定してパラメータ値  $p + \delta p_1$ 、 $\dots$ 、 $p + \delta p_l$ 、 $p$ と変数値  $x + \delta x_1$ 、 $\dots$ 、 $x + \delta x_m$ 、 $x$ と  $y + \delta y_1$ 、 $\dots$ 、 $y + \delta y_n$ 、 $y$ を 10 複数のヘテロジニアス接合方程式に送り出す処理、

(3. 4) 複数のヘテロジニアス接合方程式での分散処理により得られた代入値  $H + \delta H_1$ 、 $\dots$ 、 $H$ を取り出す処理。

【請求項5】請求項3項記載のヘテロジニアスなシミュレータ間の協調分散コンピューティングシステムであって、上記(2. 1)の手段は以下の(4. 1)の手段と(4. 2)の手段からなり、上記(2. 2)の手段は以下の(4. 3)の手段と(4. 4)の手段からなること 20 を特徴とするヘテロジニアスなシミュレータ間の協調分散コンピューティングシステム。

(4. 1) 上記数値演算装置に複数の第1のシミュレータと複数の第2のシミュレータを入力設定してパラメータ値  $p$  ( $p_1$ 、 $\dots$ 、 $p_l$ ) に対して微小変化量  $\delta p_1$ 、 $\dots$ 、 $\delta p_l$  で変調した  $p + \delta p_1$ 、 $\dots$ 、 $p + \delta p_l$  及び  $p$  を複数の第1のシミュレータと複数の第2のシミュレータに送り出す手段、

(4. 2) 複数の第1のシミュレータでの分散処理により得られたローカルコンシスタントな解  $x + \delta x_1$ 、 $\dots$ 、 $x + \delta x_m$ 、 $x$ と複数の第2のシミュレータでの分散処理により得られたローカルコンシスタントな解  $y + \delta y_1$ 、 $\dots$ 、 $y + \delta y_n$ 、 $y$ を取り出す手段、 30

(4. 3) 上記数値演算装置に複数のヘテロジニアス接合方程式を入力設定してパラメータ値  $p + \delta p_1$ 、 $\dots$ 、 $p + \delta p_l$ 、 $p$ と変数値  $x + \delta x_1$ 、 $\dots$ 、 $x + \delta x_m$ 、 $x$ と  $y + \delta y_1$ 、 $\dots$ 、 $y + \delta y_n$ 、 $y$ を複数のヘテロジニアス接合方程式に送り出す手段、

(4. 4) 複数のヘテロジニアス接合方程式での分散処理により得られた代入値  $H + \delta H_1$ 、 $\dots$ 、 $H$ を取り出す手段。 40

【請求項6】請求項2項記載のヘテロジニアスなシミュレータ間の協調分散コンピューティング方法であって、上記(1. 1)の処理は以下の(5. 1)の処理と(5. 2)の処理からなり、上記(1. 2)の処理は以下の(5. 3)の処理と(5. 4)の処理からなり、上記(1. 3)の処理は以下の(5. 5)の処理と(5. 6)の処理からなり、上記(1. 5)の処理は以下の(5. 7)の処理と(5. 8)の処理からなることを特徴とするヘテロジニアスなシミュレータ間の協調分散コンピューティング方法。 50

(5. 1) 上記数値演算装置に複数の第1のシミュレータと複数の第2のシミュレータを入力設定し、パラメータ値  $p$  の変化量  $\Delta p$  に対する複数の変化量係数  $\alpha$  ( $\alpha_1$ 、 $\alpha_2$ 、 $\dots$ ) からなるパラメータ値  $p_{\alpha 1}$ 、 $p_{\alpha 2}$ 、 $\dots$  を複数の第1のシミュレータと複数の第2のシミュレータに入力設定する処理、

(5. 2) 複数の第1のシミュレータでの分散処理により得られたローカルコンシスタントな解  $x_{\alpha 1}$ 、 $x_{\alpha 2}$ 、 $\dots$  と複数の第2のシミュレータでの分散処理により得られたローカルコンシスタントな解  $y_{\alpha 1}$ 、 $y_{\alpha 2}$ 、 $\dots$  を取り出す処理、

(5. 3) 上記数値演算装置に複数のヘテロジニアス接合方程式を設定して、パラメータ値  $p_{\alpha 1}$ 、 $p_{\alpha 2}$ 、 $\dots$  と変数値  $x_{\alpha 1}$ 、 $x_{\alpha 2}$ 、 $\dots$  と  $y_{\alpha 1}$ 、 $y_{\alpha 2}$ 、 $\dots$  を複数のヘテロジニアス接合方程式に代入する処理、

(5. 4) 複数のヘテロジニアス接合方程式での分散処理により得られた代入値  $H_1$ 、 $H_2$ 、 $\dots$  を取り出す処理、

(5. 5)  $H_{\alpha 1}$ 、 $H_{\alpha 2}$ 、 $\dots$  の中でノルムが最小となり且つ前回の繰り返し演算における  $H$  のノルムの最小値より小さくなる  $H_{\alpha}$  を設定する処理、

(5. 6) 設定した  $H_{\alpha}$  に対してヘテロジニアス接合変分方程式を解くことでパラメータ  $P$  の増加量  $\Delta P$  を求める処理、

(5. 7) 求めた増加量  $\Delta P$  に対する上記複数の増加量係数  $\alpha$  ( $\alpha_1$ 、 $\alpha_2$ 、 $\dots$ ) からなる新しいパラメータ値  $P_{\alpha 1} = P + \alpha_1 \Delta P$ 、 $P_{\alpha 2} = P + \alpha_2 \Delta P$ 、 $\dots$  を設定する処理、

(5. 8) 設定した新しいパラメータ値にもとずき上記(1. 1)  $\dots$  (1. 4) を繰り返す処理。

【請求項7】請求項3項記載のヘテロジニアスなシミュレータ間の協調分散コンピューティングシステムであって、上記(2. 1)の手段は以下の(6. 1)の手段と(6. 2)の手段からなり、上記(2. 2)の手段は以下の(6. 3)の手段と(6. 4)の手段からなり、上記(2. 3)の手段は以下の(6. 5)の手段と(6. 6)の手段からなり、上記(2. 5)の手段は以下の(6. 7)の手段と(6. 8)の手段からなることを特徴とするヘテロジニアスなシミュレータ間の協調分散コンピューティング方法。

(6. 1) 上記数値演算装置に複数の第1のシミュレータと複数の第2のシミュレータを入力設定し、パラメータ値  $p$  の変化量  $\Delta p$  に対する複数の変化量係数  $\alpha$  ( $\alpha_1$ 、 $\alpha_2$ 、 $\dots$ ) からなるパラメータ値  $p_{\alpha 1}$ 、 $p_{\alpha 2}$ 、 $\dots$  を複数の第1のシミュレータと複数の第2のシミュレータに入力設定する手段、

(6. 2) 複数の第1のシミュレータでの分散処理により得られたローカルコンシスタントな解  $x_{\alpha 1}$ 、 $x_{\alpha 2}$ 、 $\dots$  と複数の第2のシミュレータでの分散処理に

より得られたローカルコンシスタントな解  $y_{\alpha 1}$ 、 $y_{\alpha 2}$ 、―――を取り出す手段、

(6. 3) 上記数値演算装置に複数のヘテロ ジーニアス接合方程式を設定して、パラメータ値  $p_{\alpha 1}$ 、 $p_{\alpha 2}$ 、―――と変数値  $x_{\alpha 1}$ 、 $x_{\alpha 2}$ 、―――と  $y_{\alpha 1}$ 、 $y_{\alpha 2}$ 、―――を複数のヘテロ ジーニアス接合方程式に代入する手段、

(6. 4) 複数のヘテロ ジーニアス接合方程式での分散処理により得られた代入値  $H_1$ 、 $H_2$ 、―――を取り出す手段、

(6. 5)  $H_{\alpha 1}$ 、 $H_{\alpha 2}$ 、―――の中でノルムが最小となり且つ前回の繰り返し演算における  $H$  のノルムの最小値より小さくなる  $H_{\alpha}$  を設定する手段、

(6. 6) 設定した  $H_{\alpha}$  に対してヘテロ ジーニアス接合変分方程式を解くことでパラメータ  $P$  の増加量  $\Delta P$  を求める手段、

(6. 7) 求めた増加量  $\Delta P$  に対する上記複数の増加量係数  $\alpha$  ( $\alpha_1$ 、 $\alpha_2$ 、…) からなる新しいパラメータ値  $P_{\alpha 1} = P + \alpha_1 \Delta P$ 、 $P_{\alpha 2} = P + \alpha_2 \Delta P$ 、…を設定する手段、

(6. 8) 設定した新しいパラメータ値にもとずき上記(2. 1) … (2. 4) による処理を繰り返す手段。

【請求項 8】請求項 6 項記載のヘテロ ジーニアスなシミュレータ間の協調分散コンピューティング方法であって、上記(5. 5) の処理は以下の(7. 1) の処理を含み、上記(5. 7) の処理は以下の(7. 2) の処理を含むことを特徴とするヘテロ ジーニアスなシミュレータ間の協調分散コンピューティング方法。

(7. 1)  $H_{\alpha 1}$ 、 $H_{\alpha 2}$ 、―――の中でノルムが最小となる  $H_{\alpha}$  が前回の繰り返し演算における  $H$  のノルムの最小値より大きい場合は、 $\alpha$  を  $1/8$  倍する処理。

(7. 2) パラメータ値  $p$  の増加量  $\Delta p$  に対する 3 つの増加量係数  $0.5 \alpha$ 、 $\alpha$ 、 $2.0 \alpha$  ( $0 < \alpha < 1$ ) を設定する処理。

【請求項 9】請求項 7 項記載のヘテロ ジーニアスなシミュレータ間の協調分散コンピューティングシステムであって、上記(6. 5) の手段は以下の(8. 1) の手段を含み、上記(6. 7) の手段は以下の(8. 2) の手段を含むことを特徴とするヘテロ ジーニアスなシミュレータ間の協調分散コンピューティングシステム。

(8. 1)  $H_{\alpha 1}$ 、 $H_{\alpha 2}$ 、―――の中でノルムが最小となる  $H_{\alpha}$  が前回の繰り返し演算における  $H$  のノルムの最小値より大きい場合は、 $\alpha$  を  $1/8$  倍する手段、

(8. 2) 上記パラメータ値  $p$  の増加量  $\Delta p$  に対する 3 つの増加量係数  $0.5 \alpha$ 、 $\alpha$ 、 $2.0 \alpha$  ( $0 < \alpha < 1$ ) を設定する手段。

【請求項 10】請求項 2 項記載のヘテロ ジーニアスなシミュレータ間の協調分散コンピューティング方法であって、上記(1. 3) におけるヘテロ ジーニアス接合変分方程式はヘテロ ジーニアス接合方程式に対する一次の変

分方程式であることを特徴とするヘテロ ジーニアスなシミュレータ間の協調分散コンピューティング方法。

【発明の詳細な説明】

【0001】

【発明の属する技術分野】本発明は、ナノメートル素子、超高速流体力学、ミリ波モノリシック集積回路、又は、磁気記憶素子等あらゆる先端科学技術分野の解析や設計に活用されているシミュレータ又は CAD システム (Computer Aided Design) に係わり、特に、異種のシミュレータ間を効率良く結合させることでグローバルコンシスタントな解を求めて、而も、協調分散処理を用いての超高速性、極安定性、スケラビリティに優れたヘテロ ジーニアスなシミュレータ間の協調分散コンピューティング方法及びシステムに関するものである。

【0002】

【従来の技術】通常、シミュレータを利用する際、図 6 に示すように、オペレータはマウスやキーボード及びディスプレイ等からなる入力表示装置 1 を介して、材料や構造モデリング、物理モデリング、数値計算手法の数値実験モデリング等におけるパラメータ値  $p$  を設定する。このパラメータ値  $p$  に基づき、CPU (Central Processing Unit) やメモリ及びネットワークから構成された数値演算装置 3 がシミュレーションプログラムに基づいて演算処理を実行し、パラメータ値  $p$  より形成された非線形連立方程式の変数  $x$ 、 $y$  のセルフコンシスタント解を求める。変数値  $x$ 、 $y$  の結果は、データ又はグラフィックカルな形でディスプレイ等からなる出力表示装置 2 に表示されオペレータの解析や設計を支援する。

【0003】しかし、近年、科学技術分野の発展が著しく、解析や設計の対象となる系は材料的に又構造的に多様化のトレンドにある。それに伴って、物理メカニズムは益々混迷の度を増し物理モデリング及び数値計算手法は複雑化の一途を辿っている。そのために、シミュレータ開発のエンジニアが直面している重要課題として、物理モデルが複雑になればなるほどプログラム開発日程が延び、而も、数値演算時間が膨大になることがある。

【0004】図 6 に示すように、パラメータ  $p$  と変数  $x$  からなるシミュレータ A とパラメータ  $p$  と変数  $y$  からなるシミュレータ B がある。物理現象が複雑化して、パラメータ  $p$  と変数  $x$ 、 $y$  を関係づけるヘテロ ジーニアス接合方程式 6 が形成されたものとする。具体例として、ナノメートル素子は、電極を含め殆どの領域は汎用の古典的な流体シミュレータの適用範囲内にある。一方、ナノメートル構造の極微細な領域においては、トンネル効果等の量子輸送シミュレータを適用しなければならない。全系に適用可能な統合的なシミュレータを再構築するかわりに、各シミュレータを適材適所に活用する手段を選択すれば、古典論と量子論の境界領域において電流連続

性を保証すべき接合方程式が形成される。又、J.F.Bourgatらは、Contemporary Mathematics Vol. 157, PP. 377-398, 1994において、超高速航空力学に適用すべくボルツマン方程式とオイラー方程式又はナビエーストックス方程式の組み合わせ問題及び境界条件としての接合方程式を述べている。ミリ波モノリシック集積回路においては、電子素子に適用すべき汎用流体シミュレータと空間伝搬するミリ波に適用すべきマックスウエル方程式に基づくシミュレータ及び境界領域における接合方程式が挙げられる。更に、磁気記憶素子の同時記憶再生シミュレーションにおいては、記憶シミュレータと再生シミュレータ及び接合方程式が形成される等、上記物理現象の複雑化に伴ってあらゆる先端科学技術分野で直面する課題である。

【0005】通常、シミュレーションエンジニアは、ヘテロジーニクスな接合方程式 6 をプログラミング構築してシミュレータ A 及びシミュレータ B を組み合わせる方法をとる。まず、入力表示装置 1 を介して数値演算装置 3 にパラメータ値  $p$  を設定する。パラメータ値  $p$  に対してシミュレータ A より得られたローカルコンシスタントな解  $x$  とシミュレータ B より得られたローカルコンシスタントな解  $y$  をヘテロジーニクスな接合方程式 6 に送り、ヘテロジーニクスな接合方程式を解くことでパラメータ  $p$  の増加量  $\Delta p$  を求める。収束判定部 9 において  $\Delta p$  の収束性を判断して、収束していなければ探索ベクトル設定部 10 において  $\Delta p$  だけ増加させた新しいパラメータ値  $p$  を設定して上記手順を繰り返し、収束していれば出力表示装置 2 にてグローバルコンシスタントな解  $p$ 、 $x$ 、 $y$  の値を表示する。

【0006】

【発明が解決しようとする課題】図 6 の方法は非結合法と呼ばれ、ヘテロジーニクスな接合方程式 6 を個別に開発可能であることからプログラム開発規模はそれ程大きくなく、一回の繰り返しの所要時間も少ない。しかし、パラメータ  $p$  や変数  $x$ 、 $y$  の増加量が独立に求められていることから繰り返し回数が増し、極めて収束性が悪く発散する危険性が高い。

【0007】一方、図 7 の方法は結合法と呼ばれ、パラメータ  $p$  や変数  $x$ 、 $y$  の増加量が従属的に求められていることから安定な収束性を有するが、シミュレータ A とシミュレータ B を含めてヘテロジーニクスな接合方程式 6 を再構築するためにプログラム開発規模は極めて大きく、又、一回の繰り返しの所要時間が著しく増加する難点がある。要するに、上記非結合法及び結合法はそれぞれに高速性、安定性に関してメリットとデメリットを含んでいることである。本発明の目的は、これら従来技術の課題を解決し、超高速性、極安定性、スケーラビリティに優れたヘテロジーニクスなシミュレータ間の協調分散コンピューティング方法及びシステムを提供するこ

とにある。

【0008】

【課題を解決するための手段】上記目的を達成するために、本発明のヘテロジーニクスなシミュレータ間の協調分散コンピューティング方法及びシステムは以下の

(1) ~ (7) に述べるような構成にした点に特徴がある。

【0009】(1) 図 1 に示すように、数値演算装置 3 内に、ヘテロジーニクスな接合変分方程式数値演算部 8 とパラメータ  $p$  の収束判定部 9 及びパラメータ  $p$  の探索ベクトル設定部 10 とから構成されてエージェント機能を有する演算制御部 7 を設ける。ヘテロジーニクスな接合変分方程式数値演算部 8 においては、パラメータ値  $p$  に対してシミュレータ A より得られたローカルコンシスタントな解  $x$  とシミュレータ B より得られたローカルコンシスタントな解  $y$  を取り出す。又、上記数値演算部 8 は、パラメータ値  $p$  と変数値  $x$ 、 $y$  をヘテロジーニクスな接合方程式 6 に代入して代入値  $H$  を取り出す。これら取り出した値より形成されたヘテロジーニクスな接合変分方程式を解くことでパラメータ  $p$  の増加量  $\Delta p$  を求める。

【0010】収束判定部 9 においては、 $\Delta p$  の収束性を判断する。収束していなければ、探索ベクトル設定部 10 において  $\Delta p$  を増加させた新しいパラメータ値  $p$  を設定し、再びシミュレータからローカルコンシスタントな解を取り出す手順を繰り返す。収束していれば、出力表示装置 2 にグローバルコンシスタントな解  $p$ 、 $x$ 、 $y$  の値を表示する。

【0011】(2) 上記 (1) に記載のヘテロジーニクスなシミュレータ間の協調分散コンピューティングシステムの演算制御部 7 において、図 2 に示すように、協調分散型微分演算制御部 11 を設ける。

【0012】協調分散型微分演算制御部 11 においては、数値演算装置 3 に複数のシミュレータ A と複数のシミュレータ B 及び複数のヘテロジーニクスな接合方程式 6 を設定する。

【0013】次に、パラメータ値  $p$  ( $p_1$ 、---、 $p_1$ ) に対して微小変化量  $\delta p_1$ 、---、 $\delta p_1$  で変調した  $p + \delta p_1$ 、---、 $p + \delta p_1$  と  $p$  を設定して、複数のシミュレータ A 及び複数のシミュレータ B に送り出す。複数のシミュレータ A での分散処理により得られたローカルコンシスタントな解  $x + \delta x_1$ 、---、 $x + \delta x_m$ 、 $x$  と複数のシミュレータ B での分散処理により得られたローカルコンシスタントな解  $y + \delta y_1$ 、---、 $y + \delta y_n$ 、 $y$  を取り出して、ヘテロジーニクスな接合変分方程式数値演算部 8 に送る。

【0014】ヘテロジーニクスな接合変分方程式数値演算部 8 からは、再びパラメータ値  $p + \delta p_1$ 、---、 $p + \delta p_1$ 、 $p$  と変数値  $x + \delta x_1$ 、---、 $x + \delta x_m$ 、 $x$  と  $y + \delta y_1$ 、---、 $y + \delta y_n$ 、 $y$  を協調分散型微分演算制御部 11 に設定する。

【0015】更に、協調分散型演算制御部11においては、設定されたパラメータ値  $p + \delta p_1$ 、---、 $p + \delta p_l$ 、 $p$  と変数値  $x + \delta x_1$ 、---、 $x + \delta x_m$ 、 $x$  と  $y + \delta y_1$ 、---、 $y + \delta y_n$ 、 $y$  を複数のヘテロジーニース接合方程式6に送り出し分散処理により得られた代入値  $H + \delta H_1$ 、---、 $H$  を取り出しヘテロジーニース接合変分方程式数値演算部8に送り出す。これらパラメータ値  $p + \delta p_1$ 、---、 $p + \delta p_l$ 、 $p$  と変数値  $x + \delta x_1$ 、---、 $x + \delta x_m$ 、 $x$  と  $y + \delta y_1$ 、---、 $y + \delta y_n$ 、 $y$  及び代入値  $H + \delta H_1$ 、---、 $H$  から形成されたヘテロジーニース接合変分方程式を解くことでパラメータ値  $p$  の増加量  $\Delta p$  を求める。

【0016】(3) 上記(1)又は(2)に記載のヘテロジーニースなシミュレータ間の協調分散コンピューティングシステムの演算制御部7において、図3に示すように、探索ベクトル設定部10、協調分散型演算制御部12及び最適探索ベクトル設定部13を設ける。

【0017】探索ベクトル設定部10においては、パラメータ値  $p$  の増加量  $\Delta p$  に対する複数の増加量係数  $\alpha$  ( $\alpha_1$ 、 $\alpha_2$ 、---) からなる新しいパラメータ値  $p_{\alpha 1}$ 、 $p_{\alpha 2}$ 、--- ( $p + \alpha_1 \Delta p$ 、 $p + \alpha_2 \Delta p$ 、---) を協調分散型演算制御部12に設定する。

【0018】協調分散型演算制御部12においては、数値演算装置3に複数のシミュレータAと複数のシミュレータB及び複数のヘテロジーニース接合方程式6を設定する。次に、パラメータ値  $p_{\alpha 1}$ 、 $p_{\alpha 2}$ 、--- を複数のシミュレータAと複数のシミュレータBに送り出す。複数のシミュレータAでの分散処理により得られたローカルコンシスタントな解  $x_{\alpha 1}$ 、 $x_{\alpha 2}$ 、--- と複数のシミュレータBでの分散処理により得られたローカルコンシスタントな解  $y_{\alpha 1}$ 、 $y_{\alpha 2}$ 、--- を取り出してヘテロジーニース接合変分方程式の数値演算部8に送る。

【0019】ヘテロジーニース接合変分方程式数値演算部8からは、再びパラメータ値  $p_{\alpha 1}$ 、 $p_{\alpha 2}$ 、--- と変数値  $x_{\alpha 1}$ 、 $x_{\alpha 2}$ 、--- と  $y_{\alpha 1}$ 、 $y_{\alpha 2}$ 、---

\*ーを協調分散型演算制御部12に設定する。

【0020】協調分散型演算制御部12においては、設定されたパラメータ値  $p_{\alpha 1}$ 、 $p_{\alpha 2}$ 、--- と変数値  $x_{\alpha 1}$ 、 $x_{\alpha 2}$ 、--- と  $y_{\alpha 1}$ 、 $y_{\alpha 2}$ 、--- をヘテロジーニース接合方程式6に送り出し、分散処理させた代入値  $H_{\alpha 1}$ 、 $H_{\alpha 2}$ 、--- を取り出して最適探索ベクトル設定部13に送り出す。

【0021】最適探索ベクトル設定部13においては、 $H_{\alpha 1}$ 、 $H_{\alpha 2}$ 、--- の中でノルムが最小となり且つ前回の繰り返し演算における  $H$  のノルムの最小値より小さくなる  $H_{\alpha}$  をヘテロジーニース接合変分方程式数値演算部8に送る。

【0022】ヘテロジーニース接合変分方程式数値演算部8においては、設定値  $\alpha$  に対するパラメータ値  $p_{\alpha}$  と変数値  $x_{\alpha}$ 、 $y_{\alpha}$  及び代入値  $H_{\alpha}$  から形成されたヘテロジーニース接合変分方程式のみを解くことでパラメータ値  $p$  の増加量  $\Delta p$  を求める。

【0023】(4) 上記(3)に記載のヘテロジーニースなシミュレータ間の協調分散コンピューティングシステムの探索ベクトル設定部10においては、図4に示すように、パラメータ値  $p$  の増加量  $\Delta p$  に対する3つの増加量係数  $0.5\alpha$ 、 $\alpha$ 、 $2.0\alpha$  ( $0 < \alpha < 1$ ) を設定する。

【0024】最適探索ベクトル設定部13においては、 $H_{\alpha 1}$ 、 $H_{\alpha 2}$ 、--- の中でノルムが最小となる  $H_{\alpha}$  が前回の繰り返し演算における  $H$  のノルムの最小値より大きい場合は、 $\alpha$  を  $1/8$  倍して探索ベクトル設定部10に送る。

【0025】(5) 上記(1)、(2)、(3)又は(4)に記載のヘテロジーニースなシミュレータ間の協調分散コンピューティングシステムのヘテロジーニース接合変分方程式数値演算部8において、ヘテロジーニース接合方程式に対する一次の変分方程式(数1)を設定する。

【0026】

【数1】

$$\left( \frac{\partial H}{\partial x} \frac{\partial x}{\partial p} + \frac{\partial H}{\partial y} \frac{\partial y}{\partial p} + \frac{\partial H}{\partial p} \right)^{(k)} \Delta p^{(k+1)} = - H^{(k)}$$

【0027】(6) 上記(1)、(2)、(3)又は(4)に記載のヘテロジーニースなシミュレータ間の協調分散コンピューティングシステムにおいて、図5に示すように、パラメータ  $p$  と変数  $x$ 、 $y$ 、--- からなる三つ以上のシミュレータ4、5、5' 及びパラメータ  $p$  と変数  $x$ 、 $y$ 、--- を関係づけるヘテロジーニース接合方程式6を入力表示装置1から数値演算装置3に設定し、設定したヘテロジーニース接合方程式に対応したヘ\*

\*テロジーニース接合変分方程式数値演算部8'を設ける。

【0028】(7) 上記(6)に記載のヘテロジーニースなシミュレータ間の協調分散コンピューティングシステムにおいて、上記ヘテロジーニース接合方程式に対する一次の変分方程式(数2)を設定する。

【0029】

【数2】



$$\left( \frac{\partial H}{\partial x} \frac{\partial x}{\partial p} + \frac{\partial H}{\partial y} \frac{\partial y}{\partial p} + \cdots + \frac{\partial H}{\partial p} \right)^{(k)} \Delta p^{(k+1)} = -H^{(k)}$$

【0030】本発明のヘテロジーニアスなシミュレータ間の協調分散コンピューティング方法及びシステムは、従来技術の非結合法又は結合法を活用した場合に比較して、高速性、安定性、スケーラビリティの観点から異種のシミュレータ間を高効率に結合する極めて優れた方法及びシステムであることを述べる。

【0031】図7の結合法に基づいて、シミュレータAとシミュレータB及びヘテロジーニアス接合方程式6か\*

\*ら形成される非線形連立方程式  $F(x|p) = 0$ 、 $G(y|p) = 0$  及び  $H(p|x, y) = 0$  のグローバルコンシスタントな解を求める。非線形連立方程式に対する一次の変分方程式は、数3となる。ここで、パラメータ  $p$ 、変数  $x$  と  $y$  の個数は各々  $l$ 、 $m$ 、 $n$  個である。

10 【0032】

【数3】

$$\begin{bmatrix} \left( \frac{\partial H}{\partial p} \right)^{(k)}_{l \times l} & \left( \frac{\partial H}{\partial x} \right)^{(k)}_{l \times m} & \left( \frac{\partial H}{\partial y} \right)^{(k)}_{l \times n} \\ \left( \frac{\partial F}{\partial p} \right)^{(k)}_{m \times l} & \left( \frac{\partial F}{\partial x} \right)^{(k)}_{m \times m} & 0 \\ \left( \frac{\partial G}{\partial p} \right)^{(k)}_{n \times l} & 0 & \left( \frac{\partial G}{\partial y} \right)^{(k)}_{n \times n} \end{bmatrix} \begin{bmatrix} [\Delta p]_1^{(k+1)} \\ [\Delta x]_m^{(k+1)} \\ [\Delta y]_n^{(k+1)} \end{bmatrix} = \begin{bmatrix} [-H]_l^{(k)} \\ [-F]_m^{(k)} \\ [-G]_n^{(k)} \end{bmatrix}$$

【0033】又、数3を  $\Delta p$  について解けば数4が得られる。

※ 【0034】

※ 【数4】

$$\left\{ \left( \frac{\partial H}{\partial x} \right)^{(k)} \left( \frac{\partial F}{\partial x} \right)^{(k)} \left( \frac{\partial F}{\partial p} \right)^{(k)} + \left( \frac{\partial H}{\partial y} \right)^{(k)} \left( \frac{\partial G}{\partial y} \right)^{(k)} \left( \frac{\partial G}{\partial p} \right)^{(k)} - \left( \frac{\partial H}{\partial p} \right)^{(k)} \right\} [\Delta p]^{(k+1)} \\ = [H]^{(k)} - \left( \frac{\partial H}{\partial x} \right)^{(k)} \left( \frac{\partial F}{\partial x} \right)^{(k)} [F]^{(k)} - \left( \frac{\partial H}{\partial y} \right)^{(k)} \left( \frac{\partial G}{\partial y} \right)^{(k)} [G]^{(k)}$$

【0035】更に、シミュレータAからは数5、シミュレータBからは数6が得られることからヘテロジーニアス接合方程式の一次変分方程式は数1となる。

★ 【0036】

【数5】

$$\left( \frac{\partial x}{\partial p} \right)^{(k)} \equiv - \left( \frac{\partial F}{\partial x} \right)^{(k)} \left( \frac{\partial F}{\partial p} \right)^{(k)} \quad , \quad [F]^{(k)} = 0$$

【0037】

【数6】

$$\left( \frac{\partial y}{\partial p} \right)^{(k)} \equiv - \left( \frac{\partial G}{\partial y} \right)^{(k)} \left( \frac{\partial G}{\partial p} \right)^{(k)} \quad , \quad [G]^{(k)} = 0$$

【0038】上記のように、従来技術の結合法に対して、直接的にシミュレータAとシミュレータBより得られるローカルコンシスタント解を用いることで、数3は数1のヘテロジーニアス接合の一次変分方程式に縮約し、而も、従来技術の非結合法で用いるヘテロジーニア

ス接合方程式6と同次元の式である。このことは、高速性は従来技術の非結合法と同等であり、且つ、安定性は結合法と同等であることを示す。従って、上記(1)又は(5)を特徴とするシステムはヘテロジーニアスなシミュレータ間的高速且つ安定な協調分散コンピューティ

ングシステムとなる。又、数1のヘテロジーニース接合の一次変分方程式を形成する場合、数5はパラメータ値  $p + \delta p_1$ 、――、 $p + \delta p_1$  と  $p$  に対して  $l+1$  個のシミュレータ A での分散処理により得られたローカルコンシスタントな解  $x + \delta x_1$ 、――、 $x + \delta x_m$ 、 $x$  を用いることで得られる。数6はパラメータ値  $p + \delta p_1$ 、――、 $p + \delta p_1$  と  $p$  に対して  $l+1$  個のシミュレータ B での分散処理により得られたローカルコンシスタントな解  $y + \delta y_1$ 、――、 $y + \delta y_n$ 、 $y$  を用いることで得られる。更に、パラメータ値  $p$  と変数  $x$ 、 $y$  の組として  $(p + \delta p_1, x, y)$ 、――、 $(p + \delta p_1, x, y)$ 、 $(p, x + \delta x_1, y)$ 、――、 $(p, x + \delta x_m, y)$ 、 $(p, x, y + \delta y_1)$ 、――、 $(p, x, y + \delta y_n)$ 、 $(p, x, y)$  を  $l+m+n+1$  のヘテロジーニース接合方程式6での分散処理より得られた代入値  $H + \delta H_1$ 、――、 $H$  を用いれば数1のヘテロジーニース接合変分方程式が形成される。上記のように、 $l+1$  個のシミュレータ A と  $l+1$  個のシミュレータ B 及び  $l+m+n+1$  個のヘテロジーニース接合方程式6への協調分散処理を行えば、ヘテロジーニース接合方程式6と数1のヘテロジーニース接合の一次変分方程式が同次元であることから、一回の繰り返し演算時間は従来技術の非結合法と同程度である。而も、繰り返し回数は従来技術の結合法と同程度であることから極めて高速性を増すことになる。従って、上記(2)又は(5)を特徴とするシステムはヘテロジーニースなシミュレータ間の超高速且つ安定な協調分散コンピューティングシステムである。

【0039】又、複数のパラメータ値  $p_{\alpha 1}$ 、 $p_{\alpha 2}$ 、――、 $(p + \alpha_1 \Delta p, p + \alpha_2 \Delta p, \text{――})$  に対して、複数のシミュレータ A と複数のシミュレータ B での分散処理より得られたローカルコンシスタントな解  $x_{\alpha 1}$ 、 $x_{\alpha 2}$ 、――と  $y_{\alpha 1}$ 、 $y_{\alpha 2}$ 、――、及び、複数のヘテロジーニース接合方程式6での分散処理より得られた代入値  $H_{\alpha 1}$ 、 $H_{\alpha 2}$ 、――から数1のヘテロジーニース接合の一次変分方程式が形成される。その際に、 $H_{\alpha 1}$ 、 $H_{\alpha 2}$ 、――の中でノルムが最小となる  $H_{\alpha}$  のみを選択しヘテロジーニース接合変分方程式を解くことで最適パラメータ値  $p$  に対する  $\Delta p$  を得る。尚、 $H_{\alpha 1}$ 、 $H_{\alpha 2}$ 、――の中でノルムが最小となる  $H_{\alpha}$  が前回の繰り返し演算における  $H$  のノルムの最小値より大きい場合は、 $\alpha$  を  $1/8$  倍して前述の手順を繰り返す。上記に示すように、複数のシミュレータ A と複数のシミュレータ B 及び複数のヘテロジーニース接合方程式6への協調分散処理を行えば、従来技術の結合法によるよりも最適な探索ベクトルが設定されることから繰り返し回数が減少し超高速性及び高い収束性が得られる。従って、上記(3)、(4)又は(5)を特徴とするシステムは、ヘテロジーニースなシミュレータ間の超高速且つ極安定な協調分散コンピューティングシステムであ

る。

【0040】又、パラメータ  $p$  と変数  $x$ 、 $y$ 、――からなる二つ以上のシミュレータ A、B、――及びパラメータ  $p$  と変数  $x$ 、 $y$ 、――を関係づけるヘテロジーニース接合方程式に対するグローバルコンシスタント解  $p$ 、 $x$ 、 $y$ 、――を求める場合は、ヘテロジーニース接合変分方程式の数値演算部に数2のヘテロジーニース接合の一次変分方程式を設定する。シミュレーションエンジニアは、ヘテロジーニース接合方程式を新たに設定するのみで、従来技術の非結合法よりも高速、且つ、結合法よりも高い収束性が得られる。従って、上記(6)又は(7)を特徴とするシステムは、ヘテロジーニースなシミュレータ間の超高速且つ極安定な高いスケラビリティを有する協調分散コンピューティングシステムである。

【0041】

【発明の実施の形態】以下、本発明の実施例を図面により詳細に説明する。

【0042】図14は、ヘテロジーニースなシミュレータ間の協調分散コンピューティングに関する実行環境である。インサネット141に繋がれたワークステーション142のクラスタ143、又は、内部通信バス145に繋がれた多数のRISCプロセッサで構成された超並列コンピュータ144等、ネットワーク環境下のハードウェア上にインプリメントされた異種のシミュレータの協調を図りながら分散実行する環境を示している。

【0043】図1は、本発明のヘテロジーニースなシミュレータ間の協調分散コンピューティングシステムの本発明に係わる構成の第1の実施例を示すブロック図である。

【0044】本実施例において、入力表示装置1を介して、パラメータ  $p$  と変数  $x$  からなるシミュレータ A とパラメータ  $p$  と変数  $y$  からなるシミュレータ B 及びパラメータ値  $p$  を数値演算装置3に設定する。数値演算装置3は、シミュレーションプログラムに基づいて演算処理を実行し、パラメータ値  $p$  より形成された非線形連立方程式のセルフコンシスタント解  $x$ 、 $y$  を求める。変数値  $x$ 、 $y$  は、データ又はグラフィカルな形で出力表示装置2に表示される。今、物理現象が複雑化して、パラメータ  $p$  と変数  $x$ 、 $y$  を関係づけるヘテロジーニースな接合方程式が形成されるものとする。再び、入力表示装置1を介してヘテロジーニースな接合方程式6を数値演算装置3に設定し、グローバルコンシスタントな解  $p$ 、 $x$ 、 $y$  を求める。本発明は、数値演算装置3において、ヘテロジーニース接合変分方程式数値演算部8、パラメータ  $p$  の収束判定部9とパラメータ  $p$  の探索ベクトル設定部10から構成された演算制御部7を設ける。ヘテロジーニース接合変分方程式の数値演算部8は、パラメータ値  $p$  に対してシミュレータ A より得られたローカルコンシスタントな解  $x$  とシミュレータ B より得られたローカ

ルコンシスタントな解 $y$ を取り出す。又、数値演算部8は、パラメータ値 $p$ と変数値 $x$ 、 $y$ をヘテロジニアス接合方程式6に送り代入値 $H$ を取り出す。パラメータ値 $p$ 、変数値 $x$ 、 $y$ 及び $H$ の値より形成された数1のヘテロジニアス接合の一次変分方程式を解くことでパラメータ値 $p$ の増加量 $\Delta p$ を求める。収束判定部9においては、 $\Delta p$ の収束性を判断する。もし、収束していなければ、探索ベクトル設定部10において $\Delta p$ だけ増加させた新しいパラメータ値 $p$ を設定し、再びシミュレータからローカルコンシスタントな解を取り出す手順を繰り返す。収束していれば、出力表示装置2にてグローバルコンシスタントな解 $p$ 、 $x$ 、 $y$ の値を表示することができる。ここで、数1のヘテロジニアス接合の一次変分方程式は、図7に示した従来技術として安定な結合法の数3と等価であり、而も、図6に示した従来技術として高速な非結合法のヘテロジニアス接合方程式6と同次元であることから、本システムはヘテロジニアスなシミュレータ間の高速且つ安定な協調分散コンピューティングシステムである。

【0045】本発明の数値演算装置3における演算制御部の処理手順を図15に示す。パラメータ値 $p$ の増加量 $\Delta p$ が収束するまで(ブロック151)  $\Delta p$ を増加させた新しいパラメータ値 $p$ を設定し(ブロック152) 処理手順を繰り返す。 $\Delta p$ を得るには、まず、パラメータ値 $p$ に対してシミュレータAの非線形連立方程式 $F(x|p)=0$ を解くことでローカルコンシスタントな解 $x$ を得る処理(ブロック153)、シミュレータBの非線形連立方程式 $G(y|p)=0$ を解くことでローカルコンシスタントな解 $y$ を得る処理(ブロック153)、及び、パラメータ値 $p$ と変数値 $x$ 、 $y$ をヘテロジニアス接合方程式6の $H(p|x, y)$ に代入した値 $H$ を得る処理(ブロック154)を実行する。その後、パラメータ値 $p$ 、変数値 $x$ 、 $y$ 及び $H$ の値より形成されたヘテロジニアス接合の一次変分方程式を解く処理(ブロック155)を実行することで $\Delta p$ を求めることができる。

【0046】図2は、本発明のヘテロジニアスなシミュレータ間の協調分散コンピューティングシステムの本発明に係わる構成の第2の実施例を示すブロック図である。

【0047】本実施例では、図1に示す第1の実施例における演算制御部において、協調分散型微分演算制御部11を設ける。

【0048】協調分散型微分演算制御部11は、パラメータ値 $p(p_1, \dots, p_1)$ に対して微小変化量 $\delta p_1, \dots, \delta p_1$ で変調した $p+\delta p_1, \dots, p+\delta p_1$ と $p$ を設定する。又、数値演算装置3に $l+1$ 個のシミュレータAと $l+1$ 個のシミュレータBを設定する。次に、設定されたパラメータ値 $p+\delta p_1, \dots, p+\delta p_1$ と $p$ を $l+1$ 個のシミュレータAと $l+1$ 個のシミュレータBに送り出し、分散処理により得ら

れたローカルコンシスタントな解 $x+\delta x_1, \dots, x+\delta x_m, x$ と $y+\delta y_1, \dots, y+\delta y_n, y$ を取り出して $(\partial x/\partial p)m \times 1$ と $(\partial y/\partial p)n \times 1$ を形成してヘテロジニアス接合変分方程式数値演算部8に送る。

【0049】ヘテロジニアス接合変分方程式数値演算部8は、再びパラメータ値 $p+\delta p_1, \dots, p+\delta p_1$ 、 $p$ と変数値 $x+\delta x_1, \dots, x+\delta x_m, x$ と $y+\delta y_1, \dots, y+\delta y_n, y$ を協調分散型微分演算制御部11に設定する。

【0050】協調分散型微分演算制御部11は、パラメータ値 $p$ と変数値 $x$ 、 $y$ の組として $(p+\delta p_1, x, y), \dots, (p+\delta p_1, x, y), (p, x+\delta x_1, y), \dots, (p, x+\delta x_m, y), (p, x, y+\delta y_1), \dots, (p, x, y+\delta y_n), (p, x, y)$ を設定する。又、数値演算装置3に $l+m+n+1$ 個のヘテロジニアス接合方程式6を設定する。設定されたパラメータ値 $p$ と変数値 $x$ 、 $y$ の組を $l+m+n+1$ 個のヘテロジニアス接合方程式6に送り出し、分散処理させた $H$ の値 $H+\delta H_1, \dots, H$ を取り出して $(\partial H/\partial x)l \times m, (\partial H/\partial y)l \times n, (\partial H/\partial p)l \times 1$ を形成してヘテロジニアス接合変分方程式数値演算部8に送り出す。これら $(\partial x/\partial p)m \times 1, (\partial y/\partial p)n \times 1$ と $(\partial H/\partial x)l \times m, (\partial H/\partial y)l \times n, (\partial H/\partial p)$ 及び $H$ の値から形成された数1のヘテロジニアス接合の一次の変分方程式を解くことでパラメータ値 $p$ の増加量 $\Delta p$ を求めることができる。ここで、 $l+1$ 個のシミュレータAと $l+1$ 個のシミュレータB及び $l+m+n+1$ 個のヘテロジニアス接合方程式6への協調分散処理を行えば、数1のヘテロジニアス接合の一次変分方程式とヘテロジニアス接合方程式6が同次元であることから、従来技術の非結合法と一回の繰り返し演算時間は同程度である。而も、繰り返し回数は従来技術の安定な結合法と同程度であることから、本システムはヘテロジニアスなシミュレータ間の超高速且つ安定な協調分散コンピューティングシステムである。

【0051】本発明の数値演算装置3における協調分散型微分演算制御部を含めた処理手順を図16に示す。パラメータ値 $p$ の増加量 $\Delta p$ が収束するまで(ブロック161)  $\Delta p$ を増加させた新しいパラメータ値 $p$ を設定し(ブロック162) 処理手順を繰り返す。 $\Delta p$ を得るには、まず初めに、パラメータ値 $p(p_1, \dots, p_1)$ に対して微小変化量 $\delta p_1, \dots, \delta p_1$ で変調した $p+\delta p_1, \dots, p+\delta p_1$ と $p$ を設定する(ブロック163)。設定されたパラメータ値 $p+\delta p_1, \dots, p+\delta p_1$ と $p$ に対して $l+1$ 個のシミュレータAにおける非線形連立方程式 $F(x|p)=0$ と $l+1$ 個のシミュレータBにおける非線形連立方程式 $G(y|p)=0$ を分散処理により解くことでローカルコ

ンシスタントな解  $x + \delta x_1, \dots, x + \delta x_m, x$  と  $y + \delta y_1, \dots, y + \delta y_n, y$  を得る処理（ブロック 164、165）、及び、 $(\partial x / \partial p) m \times 1$  と  $(\partial y / \partial p) n \times 1$  を形成する処理（ブロック 166）を実行する。

【0052】次に、パラメータ値  $p$  と変数値  $x, y$  の組として  $(p + \delta p_1, x, y), \dots, (p + \delta p_l, x, y), (p, x + \delta x_1, y), \dots, (p, x + \delta x_m, y), (p, x, y + \delta y_1), \dots, (p, x, y + \delta y_n), (p, x, y)$  を設定する（ブロック 167）。設定されたパラメータ値  $p$  と変数値  $x, y$  の組に対して、 $1 + m + n + 1$  個のヘテロロジーニース接合方程式 6 の  $H(p | x, y)$  に分散処理により代入することで  $H + \delta H_1, \dots, H$  を得る処理（ブロック 168）、及び、 $(\partial H / \partial x) 1 \times m, (\partial H / \partial y) 1 \times n, (\partial H / \partial p) 1 \times 1$  を形成する処理（ブロック 169）を実行する。

【0053】これら  $(\partial x / \partial p) m \times 1, (\partial y / \partial p) n \times 1$  と  $(\partial H / \partial x) 1 \times m, (\partial H / \partial y) 1 \times n, (\partial H / \partial p)$  及び  $H$  の値から形成された数 1 のヘテロロジーニース接合の一次の変分方程式を解く処理（ブロック 170）を実行することで  $\Delta p$  を求めることができる。

【0054】図 3 は、本発明のヘテロロジーニースなシミュレータ間の協調分散コンピューティングシステムの本発明に係わる構成の第 3 の実施例を示すブロック図である。

【0055】本実施例では、図 1 に示す第 1 の実施例における演算制御部において、協調分散型演算制御部 12 及び最適探索ベクトル設定部 13 を設ける。

【0056】探索ベクトル設定部 10 は、パラメータ値  $p$  の増加量  $\Delta p$  に対する複数の増加量係数  $\alpha$  ( $\alpha_1, \alpha_2, \dots$ ) からなる新しいパラメータ値  $p\alpha_1, p\alpha_2, \dots$  すなわち、 $p + \alpha_1 \Delta p, p + \alpha_2 \Delta p, \dots$  を協調分散型演算制御部 12 に設定する。又、図 4 に示すように、増加量係数の値として  $\alpha$  ( $0 < \alpha < 1$ ) を基に三つの増加量係数  $0.5\alpha, \alpha, 2.0\alpha$  を設定する。

【0057】協調分散型演算制御部 12 は、数値演算装置 3 に複数のシミュレータ A と複数のシミュレータ B を設定する。次に、パラメータ値  $p\alpha_1, p\alpha_2, \dots$  を複数のシミュレータ A と複数のシミュレータ B に送り出し、分散処理により得られたローカルコンシスタントな解  $x\alpha_1, x\alpha_2, \dots$  と  $y\alpha_1, y\alpha_2, \dots$  を取り出してヘテロロジーニース接合変分方程式の数値演算部 8 に送る。

【0058】ヘテロロジーニース接合変分方程式の数値演算部 8 は、再びパラメータ値  $p\alpha_1, p\alpha_2, \dots$  と変数値  $x\alpha_1, x\alpha_2, \dots$  と  $y\alpha_1, y\alpha_2, \dots$  を協調分散型演算制御部 12 に設定する。

【0059】協調分散型演算制御部 12 は、パラメータ値  $p$  と変数値  $x, y$  の組として  $(p\alpha_1, x\alpha_1, y\alpha_1), (p\alpha_2, x\alpha_2, y\alpha_2), \dots$  を設定する。又、数値演算装置 3 に複数のヘテロロジーニース接合方程式 6 を設定する。設定されたパラメータ値  $p$  と変数値  $x, y$  の組  $(p\alpha_1, x\alpha_1, y\alpha_1), (p\alpha_2, x\alpha_2, y\alpha_2), \dots$  を複数のヘテロロジーニース接合方程式 6 に送り出し、分散処理させた  $H$  の値  $H\alpha_1, H\alpha_2, \dots$  を取り出して最適探索ベクトル設定部 13 に送り出す。

【0060】最適探索ベクトル部 13 は、 $H\alpha_1, H\alpha_2, \dots$  の中でノルムが最小となり且つ前回の繰り返し演算における  $H$  のノルムの最小値より小さくなる  $H\alpha$  をヘテロロジーニース接合変分方程式の数値演算部 8 に送る。

【0061】ヘテロロジーニース接合変分方程式数値演算部 8 は、設定値  $\alpha$  に対するパラメータ値  $p\alpha$  と変数値  $x\alpha, y\alpha$  及び  $H$  の値  $H\alpha$  から形成された数 1 のヘテロロジーニース接合の一次変分方程式のみを解くことで最適パラメータ値  $p$  に対する増加量  $\Delta p$  を得る。又、図 4 に示すように、 $H\alpha_1, H\alpha_2, \dots$  の中でノルムが最小となる  $H\alpha$  が前回の繰り返し演算における  $H$  のノルムの最小値より大きい場合は、非線形性を弱めるために  $\alpha$  を  $1/8$  倍に縮小して上記手順を繰り返す。図 3 の中に示した添え字の  $k$  は、 $k$  回目の繰り返し時の値であることを表している。ここで、複数のシミュレータ A と複数のシミュレータ B 及び複数のヘテロロジーニース接合方程式 6 への協調分散処理を行えば、従来技術の結合法よりも最適探索ベクトルが設定されることから繰り返し回数が減少し超高速性及び高い収束性が得られる。従って、本システムはヘテロロジーニースなシミュレータ間の超高速且つ極安定な協調分散コンピューティングシステムである。

【0062】本発明の数値演算装置 3 の演算制御部における協調分散型演算制御部及び最適探索ベクトル設定部を含めた処理手順を図 17 に示す。パラメータ値  $p$  の増加量  $\Delta p$  が収束するまで（ブロック 171） $\Delta p$  を増加させた新しいパラメータ値  $p$  を設定し処理手順を繰り返す。 $\Delta p$  を得るには、まず、パラメータ値  $p$  の増加量  $\Delta p$  に対する複数の増加量係数  $\alpha$  ( $\alpha_1, \alpha_2, \dots$ ) からなる新しいパラメータ値  $p\alpha_1, p\alpha_2, \dots$  ( $p + \alpha_1 \Delta p, p + \alpha_2 \Delta p, \dots$ ) を設定する（ブロック 172）。パラメータ値  $p\alpha_1, p\alpha_2, \dots$  に対して複数のシミュレータ A における非線形連立方程式  $F(x | p) = 0$  と複数のシミュレータ B における非線形連立方程式  $G(y | p) = 0$  を分散処理により解くことでローカルコンシスタントな解  $x\alpha_1, x\alpha_2, \dots$  と  $y\alpha_1, y\alpha_2, \dots$  を得る処理（ブロック 173、174）を実行する。

【0063】次に、パラメータ値  $p$  と変数値  $x, y$  の組

( $p_{\alpha 1}, x_{\alpha 1}, y_{\alpha 1}$ )、( $p_{\alpha 2}, x_{\alpha 2}, y_{\alpha 2}$ )、――を複数のヘテロジーニース接合方程式 6 の  $H(p|x, y)$  に分散処理により代入することで  $H_{\alpha 1}$ 、 $H_{\alpha 2}$ 、――を得る処理 (ブロック 175) を実行する。

【0064】これら  $H_{\alpha 1}$ 、 $H_{\alpha 2}$ 、――の中でノルムが最小となり且つ前回の繰り返し演算における  $H$  のノルムの最小値より小さくなる  $H_{\alpha}$  を選択する (ブロック 176)。この設定値  $\alpha$  に対するパラメータ値  $p_{\alpha}$  と変数値  $x_{\alpha}$ 、 $y_{\alpha}$  及び  $H$  の値  $H_{\alpha}$  から形成された数 1 のヘテロジーニース接合の一次変分方程式を解く処理 (ブロック 178) を実行することで最適パラメータ値  $p$  に対する増加量  $\Delta p$  を得ることができる。又、 $H_{\alpha 1}$ 、 $H_{\alpha 2}$ 、――の中でノルムが最小となる  $H_{\alpha}$  が前回の繰り返し演算における  $H$  のノルムの最小値より大きい場合は (ブロック 177)、非線形性を弱めるために  $\alpha$  を 1/8 倍に縮小して (ブロック 179) 上記処理手順を繰り返す。

【0065】図 5 は、本発明のヘテロジーニースなシミュレータ間の協調分散コンピューティングシステムの第 4 の実施例のブロック図である。

【0066】本実施例では、図 1 に示す第 1 の実施例において、パラメータ  $p$  と変数  $x$ 、 $y$ 、――からなるヘテロジーニースなシミュレータ 4、5 とその他のシミュレータ 5'、――及びパラメータ  $p$  と変数  $x$ 、 $y$ 、 $z$ 、――を関係づけるヘテロジーニース接合方程式 6' を入力表示装置 1 から数値演算装置 3 に設定する。又、ヘテロジーニース接合方程式に対応した変分方程式の数値演算部 8' を設ける。

【0067】ヘテロジーニース接合変分方程式数値演算部 8' は、数 2 のヘテロジーニース接合方程式の一次変分方程式を形成しパラメータ値  $p$  の増加量  $\Delta p$  を求めることでグローバルコンシスタント解  $p$ 、 $x$ 、 $y$  を得る。ここで、シミュレーションエンジニアは、数 2 のヘテロジーニース接合変分方程式 8' を新たに設定するのみで、従来技術の非結合法より高速、且つ、結合法より高い収束性が得られる。従って、本システムはヘテロジーニースなシミュレータ間の超高速且つ極安定な高いスケラビリティを有する協調分散コンピューティングシステムである。

【0068】図 8 は、本発明のヘテロジーニースなシミュレータ間の協調分散コンピューティングシステムにおけるナノメートル素子のシミュレーションに関する第 5 の実施例を示すブロック図である。

【0069】本実施例では、入力表示装置 1 を介して、量子輸送シミュレータ 4 と古典輸送シミュレータ 5 を数値演算装置 3 に設定する。数値演算装置 3 は、シミュレーションプログラムに基づいて演算処理を実行し、非線形連立方程式の変数に対するセルフコンシスタントな解\*

\* を求める。これら変数値は、データ又はグラフィカルな形で出力表示装置 2 に表示される。

【0070】ナノメートル素子において、電極を含め殆どの領域は汎用の古典輸送シミュレータ 5 の適用範囲内にある。一方、ナノメートル構造の極微細な領域においては、トンネル効果等の量子輸送シミュレータ 4 を適用しなければならない。図 12 のフローチャートに量子輸送シミュレータ 4 の詳細を示す。まず、非平衡量子分布関数方程式  $W$  と境界条件の量子分布関数  $f(x_b, k_b)$  に基づいて、ポテンシャル  $\phi(x)$  に対する量子分布関数  $f(x, k)$  を求める (ブロック 121)。次に、ボアソン方程式  $\Phi$  と境界条件のポテンシャル  $\phi(x_b)$  に基づいて、量子分布関数  $f(x, k)$  により得られた電子密度  $n(x)$  (ブロック 122) に対するポテンシャル  $\phi(x)$  を求めて (ブロック 123)、ポテンシャルと電子密度の増加量  $\Delta \phi(x)$  と  $\Delta n(x)$  が共に収束条件を満たすまで上記手順を繰り返す (ブロック 124)。もし収束条件を満たしていれば、セルフコンシスタントな解である量子分布関数  $f(x, k)$  から電流密度  $J_q(x)$  が得られる (ブロック 125)。又、図 13 のフローチャートに古典輸送シミュレータ 5 の詳細を示す。まず、電流連続方程式  $N$  と境界条件の電子密度  $n(x_b)$  に基づいて、ポテンシャル  $\phi(x)$  に対する電子密度  $n(x)$  を求める (ブロック 131)。次に、量子輸送シミュレータ 4 と同様にボアソン方程式  $\Phi$  と境界条件のポテンシャル  $\phi(x_b)$  に基づいて、電子密度  $n(x)$  に対するポテンシャル  $\phi(x)$  を求めて (ブロック 132)、ポテンシャルと電子密度の増加量  $\Delta \phi(x)$  と  $\Delta n(x)$  が共に収束条件を満たすまで上記手順を繰り返す (ブロック 133)。もし収束条件を満たしていれば、セルフコンシスタントな解であるポテンシャル  $\phi(x)$  と電子密度  $n(x)$  から電流密度  $J_c(x)$  が得られる (ブロック 134)。

【0071】全系に適用可能な統合的なシミュレータを再構築するかわりに、パラメータ  $\phi(x_b)$  と変数  $J_q(x)$  からなる量子輸送シミュレータ 4 とパラメータ  $\phi(x_b)$  と変数  $J_c(x)$  からなる古典輸送シミュレータ 5 を適材適所に活用する手段を選択すれば、境界領域  $x_b$  において量子輸送シミュレータ 4 より得られる電流密度  $J_q(x_b)$  と古典輸送シミュレータ 5 より得られる電流密度  $J_c(x_b)$  に対して電流連続性を保証する数 7 のヘテロジーニース接合方程式が形成される。再び、入力表示装置 1 を介してヘテロジーニースな接合方程式 6 を数値実験装置 3 に設定し、グローバルコンシスタントな解  $f(x)$ 、 $J_q(x)$ 、 $J_c(x)$  を求める。

【0072】

【数 7】

$$H \{J^q(xb), J^c(xb)\} \equiv J^c(xb) - J^q(xb) = 0$$

【0073】本発明は、図8に示すように、数値演算装置3にヘテロジニアス接合変分方程式数値演算部8、パラメータpの収束判定部9とパラメータpの探索ベクトル設定部10から構成された演算制御部7を設ける。ヘテロジニアス接合変分方程式数値演算部8は、パラメータ値 $\phi(xb)$ に対して量子輸送シミュレータ4より得られたローカルコンシスタントな解 $J^q(x)$ と古典輸送シミュレータ5より得られたローカルコンシスタントな解 $J^c(x)$ を取り出す。又、数値演算部8は、\*

\*パラメータ値 $\phi(xb)$ と変数値 $J^q(x)$ 、 $J^c(x)$ をヘテロジニアス接合方程式6に送りHの値 $J^c(xb) - J^q(xb)$ を取り出す。パラメータ値 $\phi(xb)$ 、変数値 $J^q(x)$ 、 $J^c(x)$ 及びHの値 $J^c(xb) - J^q(xb)$ より形成された数8のヘテロジニアス接合の一次変分方程式を解くことでパラメータ値 $\phi(xb)$ の増加量 $\Delta\phi(xb)$ を求める。

【0074】

【数8】

$$\left( \frac{\partial H}{\partial J^q} \frac{\partial J^q}{\partial \phi} + \frac{\partial H}{\partial J^c} \frac{\partial J^c}{\partial \phi} + \frac{\partial H}{\partial \phi} \right)^{(k)} \Delta\phi^{(k+1)} = -H^{(k)}$$

【0075】収束判定部9においては、 $\Delta\phi(xb)$ の収束性を判断する。もし、収束していなければ、探索ベクトル設定部10において $\Delta f(xb)$ を増加させた新しいパラメータ値 $\phi(xb)$ を設定して、再びシミュレータからローカルコンシスタントな解を取り出す手順を繰り返す。収束していれば、出力表示装置2にてグローバルコンシスタントな解 $\phi(x)$ 、 $J^q(x)$ 、 $J^c(x)$ の値を表示することができる。本システムは、従来技術として安定な結合法と等価であり、而も、数8のヘテロジニアス接合の一次変分方程式と従来技術の非結合法におけるヘテロジニアス接合方程式H6は同次元であることが示せることから、本システムはナノメートル素子シミュレーションに関する量子輸送シミュレータと古典輸送シミュレータ間の高速且つ安定な協調分散コンピューティングシステムといえる。

【0076】図9は、本発明のヘテロジニアスなシミュレータ間の協調分散コンピューティングシステムにおけるナノメートル素子のシミュレーションに関する第6の実施例を示すブロック図である。

【0077】本実施例では、図8に示す第5の実施例における演算制御部において、協調分散型演算制御部11を設ける。

【0078】協調分散型微分演算制御部11は、パラメータ値 $\phi(xb)$   $\{\phi(xb1), \dots, f(xb1)\}$ に対して微小変化量 $\delta\phi(xb1)$ 、 $\dots, \delta\phi(xb1)$ を変調した $\phi(xb) + \delta\phi(xb1)$ 、 $\dots, \phi(xb) + \delta\phi(xb1)$ と $\phi(xb)$ を設定する。又、数値演算装置3に1+1個の量子輸送シミュレータ4と1+1個の古典輸送シミュレータ5を設定する。次に、設定されたパラメータ値 $\phi(xb) + \delta\phi(xb1)$ 、 $\dots, \phi(xb) + \delta\phi(xb1)$ と $\phi(xb)$ を1+1個の量子輸送シミュレータ4と1+1個の古典輸送シミュレータ5に送り出し、分散処理により得られたローカルコンシスタントな解 $J^q(xb) +$

$\delta J^q(xb1)$ 、 $\dots, J^q(xb) + \delta J^q(xb1-1)$ と $J^c(xb) + \delta J^c(xb1)$ 、 $\dots, J^c(xb) + \delta J^c(xb1-1)$ を取り出して $\{\partial J^q(xb)/\partial\phi(xb)\} 1-1 \times 1$ と $\{\partial J^c(xb)/\partial\phi(xb)\} 1-1 \times 1$ を形成してヘテロジニアス接合変分方程式数値演算部8に送る。

【0079】ヘテロジニアス接合変分方程式数値演算部8は、再びパラメータ値 $\phi(xb) + \delta\phi(xb1)$ 、 $\dots, \phi(xb) + \delta\phi(xb1)$ と $\phi(xb)$ 及び変数値 $J^q(xb) + \delta J^q(xb1)$ 、 $\dots, J^q(xb) + \delta J^q(xb1-1)$ と $J^c(xb) + \delta J^c(xb1)$ 、 $\dots, J^c(xb) + \delta J^c(xb1-1)$ を協調分散型微分演算制御部11に設定する。

【0080】協調分散型微分演算制御部11は、パラメータ値 $\phi(xb)$ と変数値 $J^q(xb)$ 、 $J^c(xb)$ の組として $\{\phi(xb) + \delta\phi(xb1), J^q(xb), J^c(xb)\}$ 、 $\dots, \{\phi(xb) + \delta\phi(xb1), J^q(xb), J^c(xb)\}$ 、 $\{\phi(xb), J^q(xb) + \delta J^q(xb1), J^c(xb)\}$ 、 $\dots, \{\phi(xb), J^q(xb) + \delta J^q(xb1-1), J^c(xb)\}$ 、 $\{\phi(xb), J^q(xb), J^c(xb) + \delta J^c(xb1)\}$ 、 $\dots, \{\phi(xb), J^q(xb), J^c(xb) + \delta J^c(xb1-1)\}$ を設定する。又、数値演算装置3に31-1個のヘテロジニアス接合方程式6を設定する。設定されたパラメータ値 $\phi(xb)$ と変数値 $J^q(xb)$ 、 $J^c(xb)$ の組を31-1個のヘテロジニアス接合方程式6に送り出し、分散処理させたHの値 $H + \delta H1$ 、 $\dots, H$ を取り出して $\{\partial H/\partial\phi(xb)\} 1 \times 1$ 、 $\{\partial H/\partial J^q(xb)\} 1 \times 1-1$ 、 $\{\partial H/\partial J^c(xb)\} 1 \times 1-1$ を形成してヘテロジニアス接合変分方程式の数値演算部に送り出す。これら $\{\partial$

$J q(x b) / \partial \phi(x b) \} 1-1 \times 1$  と  $\{\partial J c(x b) / \partial \phi(x b) \} 1-1 \times 1$  と  $\{\partial H / \partial \phi(x b) \} 1 \times 1$ 、 $\{\partial H / \partial J q(x b) \} 1 \times 1-1$ 、 $\{\partial H / \partial J c(x b) \} 1 \times 1-1$  及び  $H$  の値から形成された数 8 のヘテロジーニース接合変分方程式を解くことでパラメータ値  $\phi(x b)$  の増加量  $\Delta \phi(x b)$  を求めることができる。ここで、 $1+1$  個の量子輸送シミュレータ 4 と  $1+1$  個の古典輸送シミュレータ 5 及び  $3 \times 1-1$  個のヘテロジーニース接合方程式 6 への協調分散処理を行えば、数 8 のヘテロジーニース接合の一次変分方程式とヘテロジーニース接合方程式 6 は同次元であることから、一回の繰り返し演算時間は従来技術の非結合法と同程度である。而も、繰り返し回数は従来技術の安定な結合法と同程度であることから、本システムはナノメートル素子シミュレーションに関する量子輸送シミュレータと古典輸送シミュレータ間の超高速且つ安定な協調分散コンピューティングシステムといえる。

【0081】図 10 は、本発明のヘテロジーニースなシミュレータ間の協調分散コンピューティングシステムにおけるナノメートル素子のシミュレーションに関する第 7 の実施例を示すブロック図である。

【0082】本実施例では、図 8 に示す第 5 の実施例における演算制御部において、協調分散型演算制御部 12 及び最適探索ベクトル設定部 13 を設ける。

【0083】探索ベクトル設定部 10 は、パラメータ値  $\phi(x b)$  の増加量  $\Delta \phi(x b)$  に対する複数の増加量係数  $\alpha$  ( $\alpha 1$ 、 $\alpha 2$ 、――) からなる新しいパラメータ値  $\phi(x b) \alpha 1$ 、 $\phi(x b) \alpha 2$ 、――  $\{\phi(x b) + \alpha 1 \Delta \phi(x b)$ 、 $\phi(x b) + \alpha 2 \Delta \phi(x b)$ 、――} を協調分散型演算制御部 12 に設定する。又、図 11 に示すように、増加量係数の値として  $\alpha$  ( $0 < \alpha < 1$ ) を元に三つの増加量係数  $0.5 \alpha$ 、 $\alpha$ 、 $2.0 \alpha$  を設定する。

【0084】協調分散型演算制御部 12 は、数値演算装置 3 に複数の量子輸送シミュレータ 4 と複数の古典輸送シミュレータ 5 を設定する。次に、パラメータ値  $\phi(x b) \alpha 1$ 、 $\phi(x b) \alpha 2$ 、――を複数の量子輸送シミュレータ 4 と複数の古典輸送シミュレータ 5 に送り出し、分散処理により得られたローカルコンシスタントな解  $J q(x b) \alpha 1$ 、 $J q(x b) \alpha 2$ 、――と  $J c(x b) \alpha 1$ 、 $J c(x b) \alpha 2$ 、――を取り出してヘテロジーニース接合変分方程式数値演算部 8 に送る。

【0085】ヘテロジーニース接合変分方程式数値演算部 8 は、再びパラメータ値  $\phi(x b) \alpha 1$ 、 $\phi(x b) \alpha 2$ 、――と変数値  $J q(x b) \alpha 1$ 、 $J q(x b) \alpha 2$ 、――と  $J c(x b) \alpha 1$ 、 $J c(x b) \alpha 2$ 、――を協調分散型演算制御部 12 に設定する。

【0086】協調分散型演算制御部 12 は、パラメータ値  $\phi(x b)$  と変数値  $J q(x b)$ 、 $J c(x b)$  の組として  $\{\phi(x b) \alpha 1$ 、 $J q(x b) \alpha 1$ 、 $J c(x$

$b) \alpha 1\}$ 、 $\{\phi(x b) \alpha 2$ 、 $J q(x b) \alpha 2$ 、 $J c(x b) \alpha 2\}$ 、――を設定する。又、数値演算装置 3 に複数のヘテロジーニース接合方程式 6 を設定する。設定されたパラメータ値  $\phi(x b)$  と変数値  $J q(x b)$ 、 $J c(x b)$  の組  $\{\phi(x b) \alpha 1$ 、 $J q(x b) \alpha 1$ 、 $J c(x b) \alpha 1\}$ 、 $\{\phi(x b) \alpha 2$ 、 $J q(x b) \alpha 2$ 、 $J c(x b) \alpha 2\}$ 、――を複数のヘテロジーニース接合方程式 6 に送り出し、分散処理により得られた  $H$  の値  $H \alpha 1$ 、 $H \alpha 2$ 、――を取り出して最適探索ベクトル設定部 13 に送り出す。

【0087】最適探索ベクトル設定部 13 は、 $H \alpha 1$ 、 $H \alpha 2$ 、――の中でノルムが最小となり且つ前回の繰り返し演算における  $H$  のノルムの最小値より小さくなる  $H \alpha$  をヘテロジーニース接合方程式の数値演算部 8 に送る。

【0088】ヘテロジーニース接合方程式数値演算部 8 は、設定値  $\alpha$  に対するパラメータ値  $\phi(x b) \alpha$  と変数値  $J q(x b) \alpha$ 、 $J c(x b) \alpha$  及び  $H$  の値  $H \alpha$  から形成された数 8 のヘテロジーニース接合の一次変分方程式のみを解くことで最適パラメータ値  $\phi(x b)$  に対する増加量  $\Delta \phi(x b)$  を得る。又、図 11 に示すように、 $H \alpha 1$ 、 $H \alpha 2$ 、――の中でノルムが最小となる  $H \alpha$  が前回の繰り返し演算における  $H$  のノルムの最小値より大きい場合は、非線形性を弱めるために  $\alpha$  を  $1/8$  倍に縮小して上記手順を繰り返す。図 10 の中に示した添え字の  $k$  は、 $k$  回目の繰り返し時の値であることを表す。ここで、複数の量子輸送シミュレータ 4 と複数の古典輸送シミュレータ 5 及び複数のヘテロジーニース接合方程式 6 への協調分散処理を行えば、従来技術の結合法よりも最適探索ベクトルが設定されることから繰り返し回数が減少し超高速性及び高い収束性が得られる。従って、本システムはナノメートル素子シミュレーションに関する量子輸送シミュレータと古典輸送シミュレータ間の超高速且つ極安定な協調分散コンピューティングシステムといえる。

【0089】

【発明の効果】本発明によれば、従来技術の非結合法における収束不安定性及び結合法におけるシミュレータの再構築によるプログラム開発量の増大を防ぐことができ、而も、協調分散処理を活用することで非結合法の繰り返し所要時間より短い超高速性且つ結合法の収束性を上回る極安定性を兼ね備えることになる。更に、物理現象が益々複雑化した場合においても、シミュレーションエンジニアは、新たにヘテロジーニースな接合方程式を設定するのみで自動的にグローバルコンシスタントな解が得られることから、オペレータの解析と設計を極めて効果的に支援するコンピューティングシステムが構築される。

【図面の簡単な説明】

【図 1】本発明の演算制御部 7 を特徴とするヘテロジー

ニアスなシミュレータ間の協調分散コンピューティングシステムのブロック図。

【図 2】本発明の協調分散型微分演算制御部 11 を特徴とするヘテロジーニアスなシミュレータ間の協調分散コンピューティングシステムのブロック図。

【図 3】本発明の協調分散型演算制御部 12 及び最適探索ベクトル設定部 13 を特徴とするヘテロジーニアスなシミュレータ間の協調分散コンピューティングシステムのブロック図。

【図 4】本発明の最適探索ベクトル設定部 13 及び探索ベクトル設定部 10 を特徴とするヘテロジーニアスなシミュレータ間の協調分散コンピューティングシステムのブロック図。

【図 5】本発明の拡張したヘテロジーニアス接合変分方程式数値演算部 8' を特徴とするヘテロジーニアスなシミュレータ間の協調分散コンピューティングシステムのブロック図。

【図 6】従来技術の非結合法を用いたシステムブロック図。

【図 7】従来技術の結合法を用いたシステムブロック図。

【図 8】本発明の演算制御部 7 を特徴とするナノメートル素子シミュレーションにおける量子輸送シミュレータと古典輸送シミュレータ間の協調分散コンピューティングシステムのブロック図。

【図 9】本発明の協調分散型微分演算制御部 11 を特徴とするナノメートル素子シミュレーションにおける量子輸送シミュレータと古典輸送シミュレータ間の協調分散コンピューティングシステムのブロック図。

【図 10】本発明の協調分散型演算制御部 12 及び最適探索ベクトル設定部 13 を特徴とするナノメートル素子\*

\* シミュレーションにおける量子輸送シミュレータと古典輸送シミュレータ間の協調分散コンピューティングシステムのブロック図。

【図 11】本発明の最適探索ベクトル設定部 13 及び探索ベクトル設定部 10 を特徴とするナノメートル素子シミュレーションにおける量子輸送シミュレータと古典輸送シミュレータ間の協調分散コンピューティングシステムのブロック図。

【図 12】量子輸送シミュレータにおける処理手順を示すフローチャート。

【図 13】古典輸送シミュレータにおける処理手順を示すフローチャート。

【図 14】ヘテロジーニアスなシミュレータ間の協調分散コンピューティング実行環境のシステム構成図。

【図 15】図 1 における演算制御部 7 の処理手順を示す P A D 図。

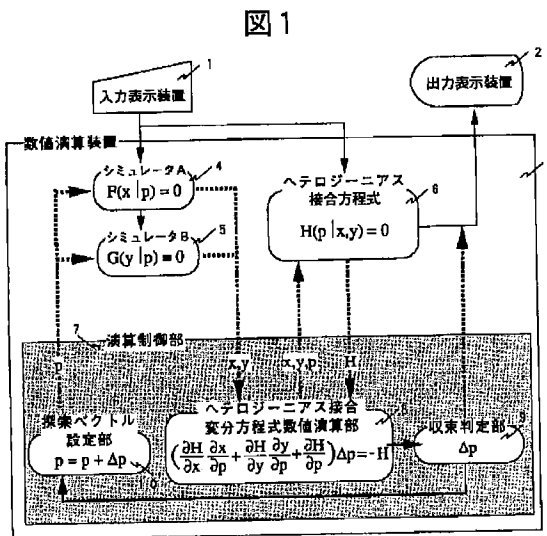
【図 16】図 2 における協調分散型微分演算制御部 11 を含んだ演算制御部の処理手順を示す P A D 図。

【図 17】図 3 における最適探索ベクトル設定部 13 を含んだ演算制御部 7 の処理手順を示す P A D 図。

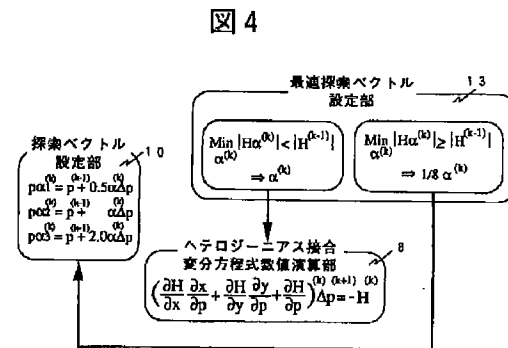
【符号の説明】

1：入力表示装置、2：出力表示装置、3：数値演算装置、4：シミュレータ A 又は量子輸送シミュレータ、5：シミュレータ B 又は古典輸送シミュレータ、5'：その他シミュレータ 6：ヘテロジーニアス接合方程式、6'：拡張型のヘテロジーニアス接合方程式 7：演算制御部、9：収束判定部、10：探索ベクトル設定部、8：ヘテロジーニアス接合変分方程式の数値演算部、8'：拡張型のヘテロジーニアス接合変分方程式の数値演算部、11：協調分散型微分演算制御部、12：協調分散型演算制御部、13：最適探索ベクトル設定部。

【図 1】

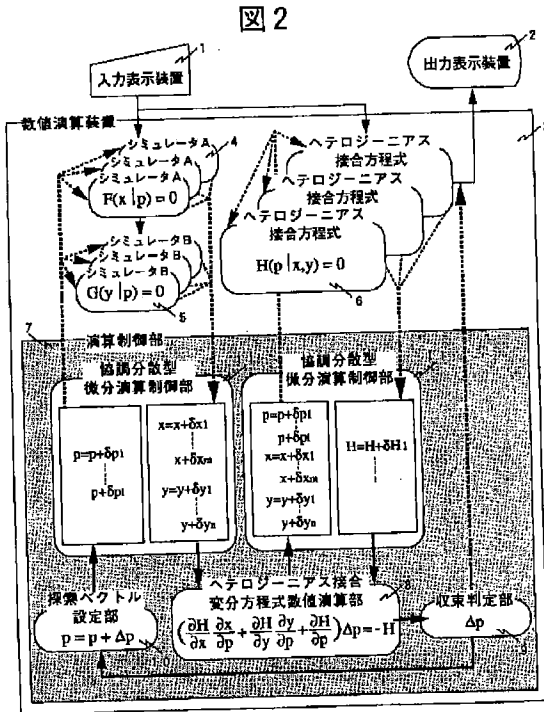


【図 4】

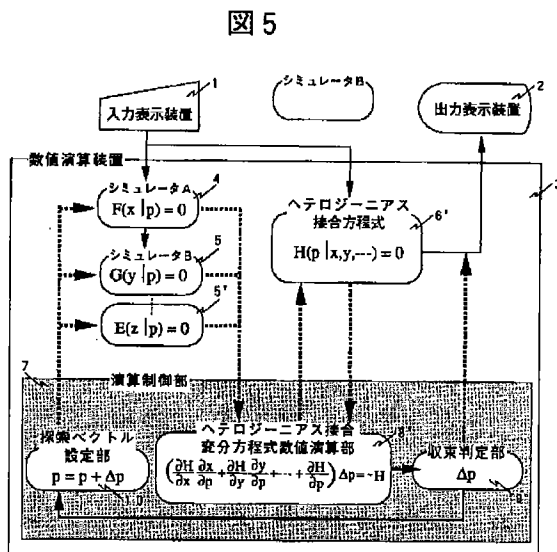




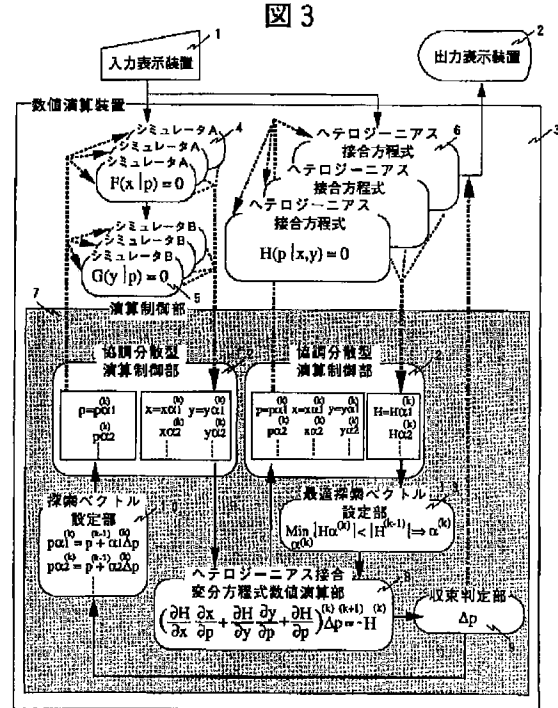
【図 2】



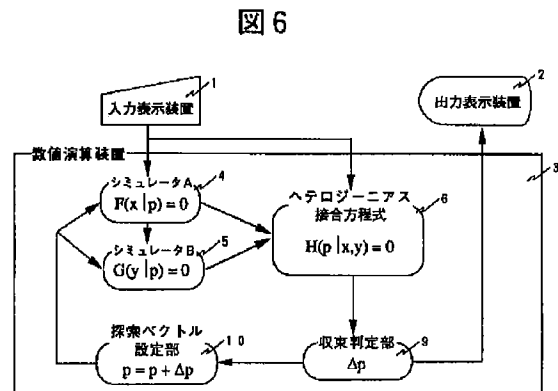
【図 5】



【図 3】

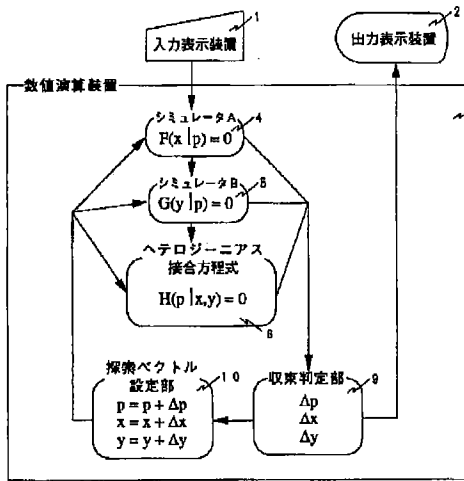


【图 6】



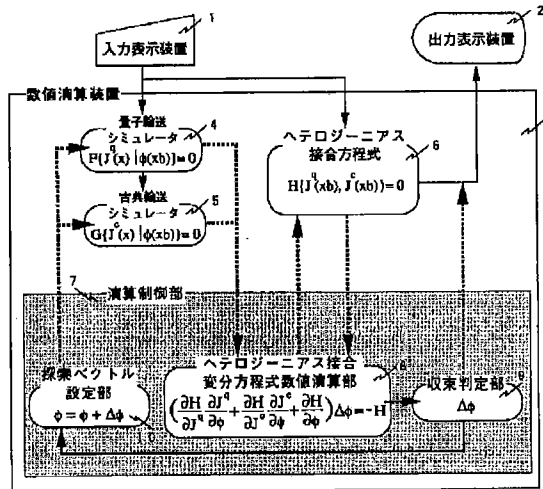
【図 7】

図 7



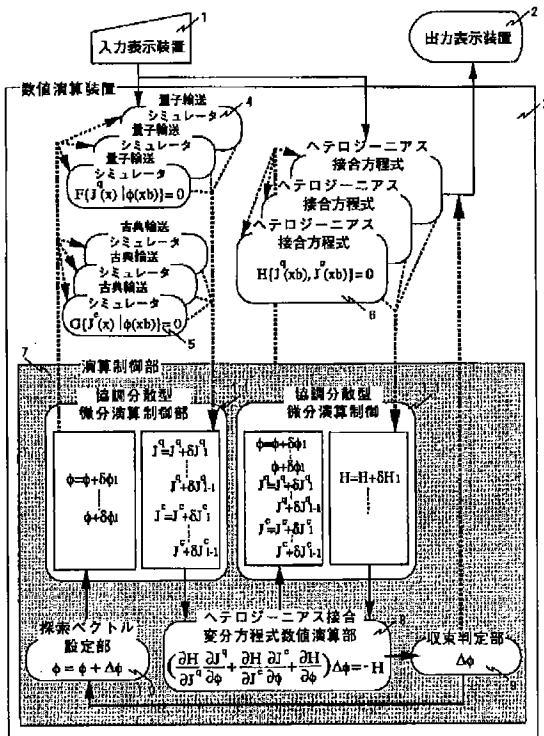
【図 8】

図 8



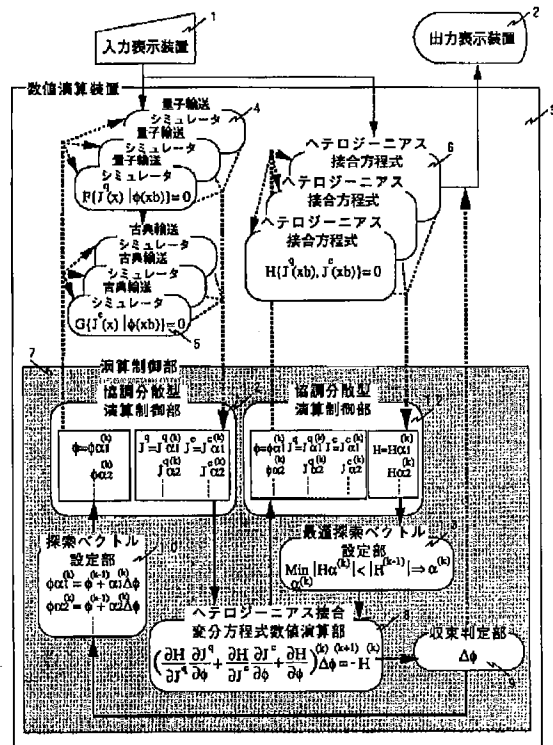
【図 9】

図 9



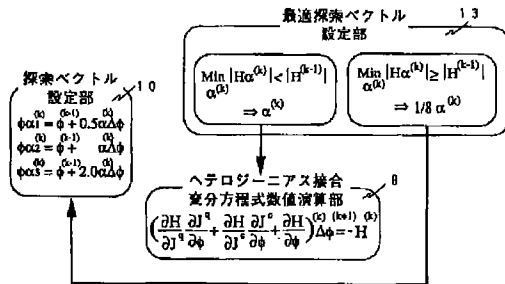
【図 10】

図 10



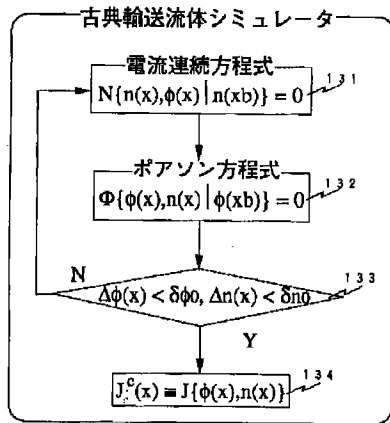
【図 11】

図 11



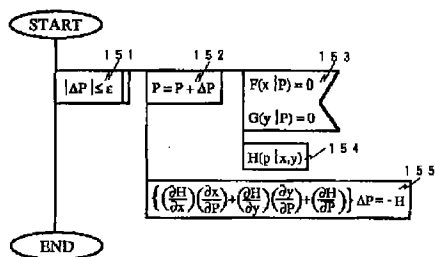
【図 13】

図 13



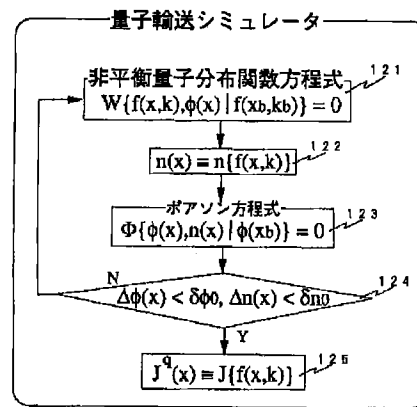
【図 15】

図 15



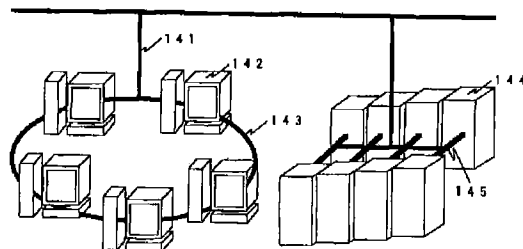
【図 12】

図 12



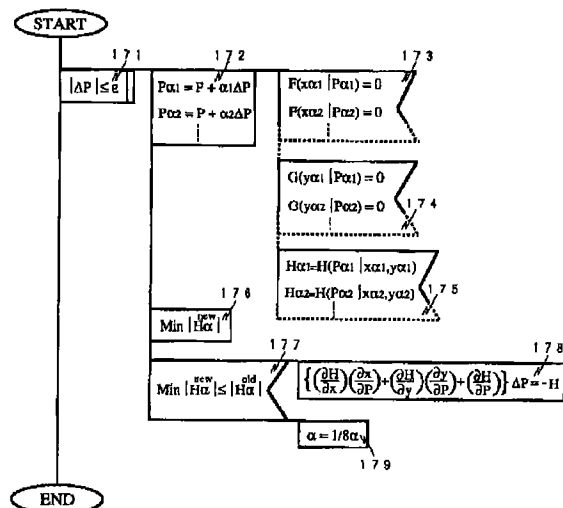
【図 14】

図 14



【図 17】

図 17



【図 16】

図 16

